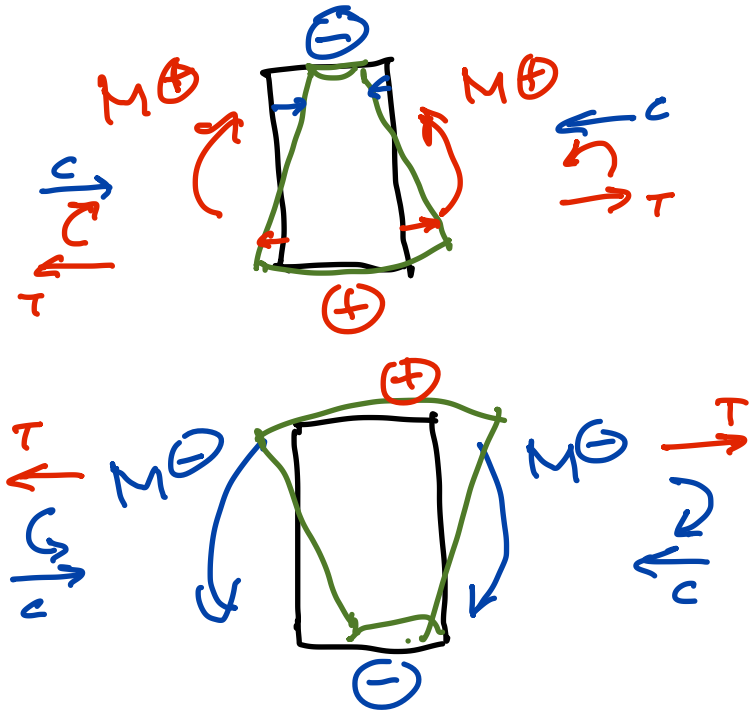


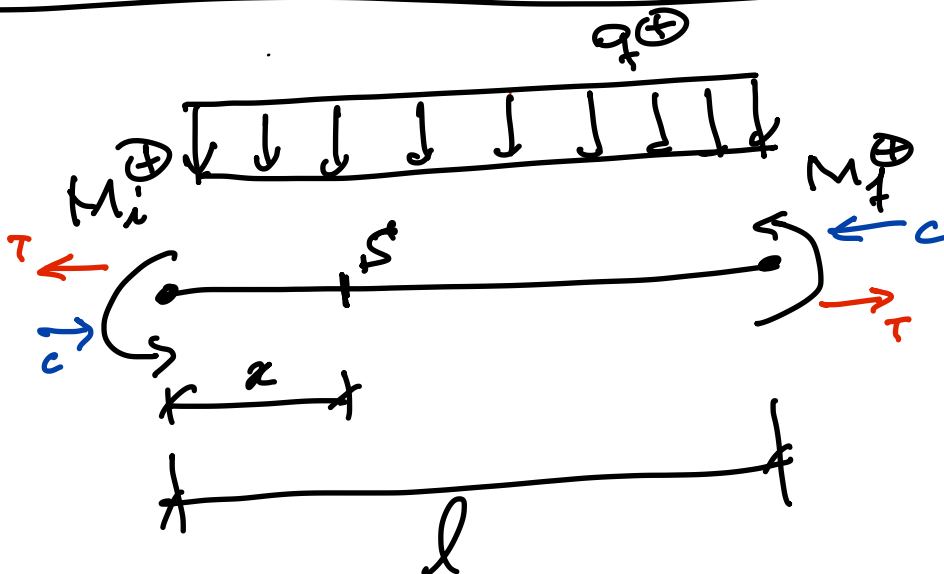
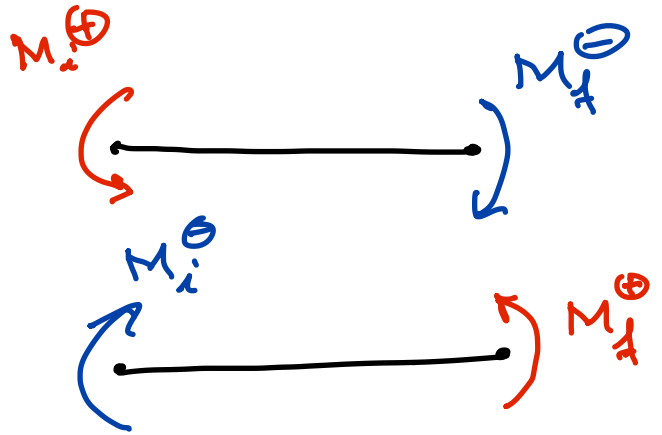
# Convenção de sinais para momentos flectores

## De traçado

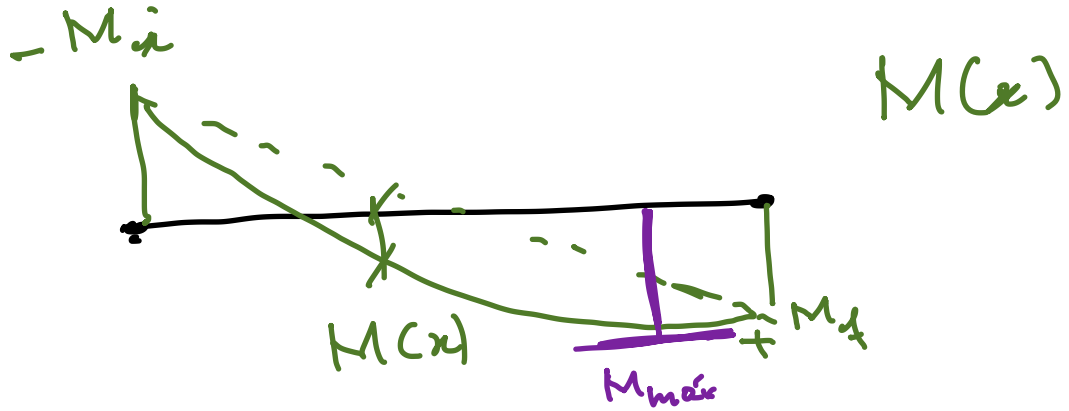


O diagrama de momentos flectores é traçado do lado da fibra tracionada

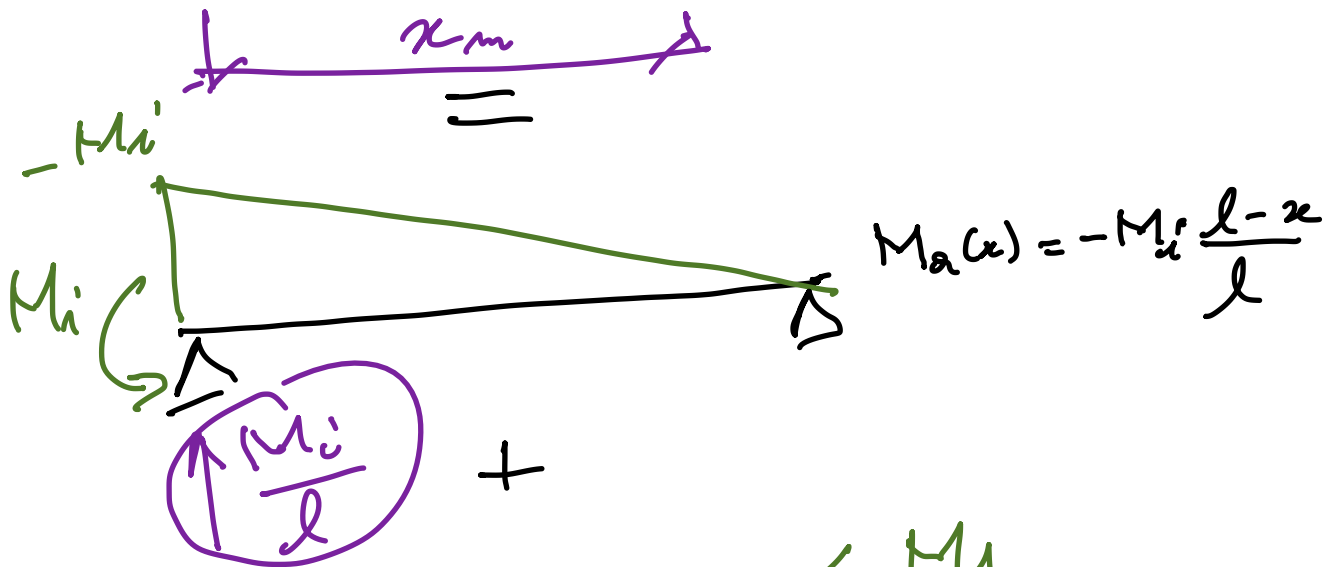
## Processo de Cross (Mét. das Desloca.)



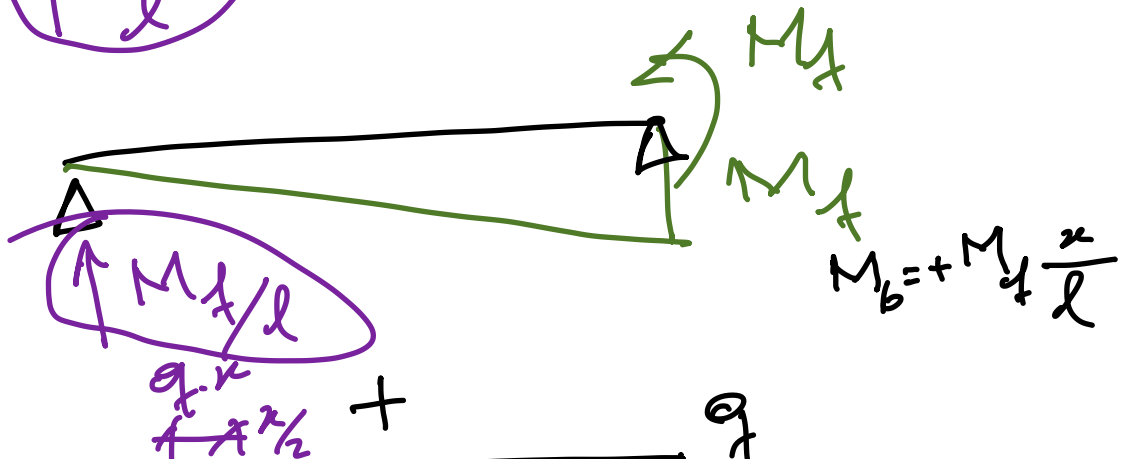
# Diagrama de momentos flectores



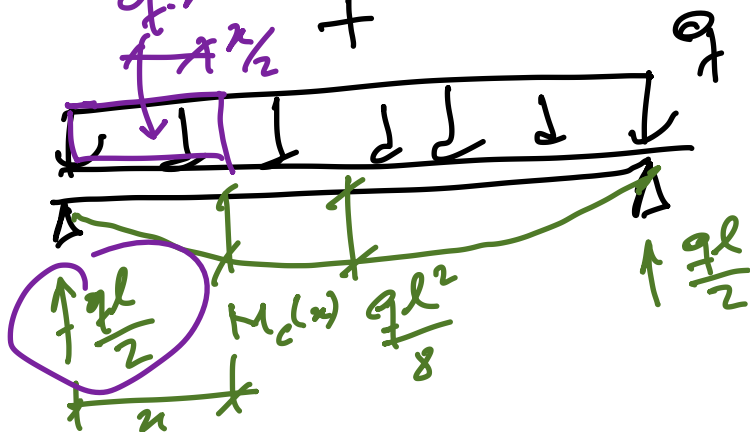
(a)



(b)



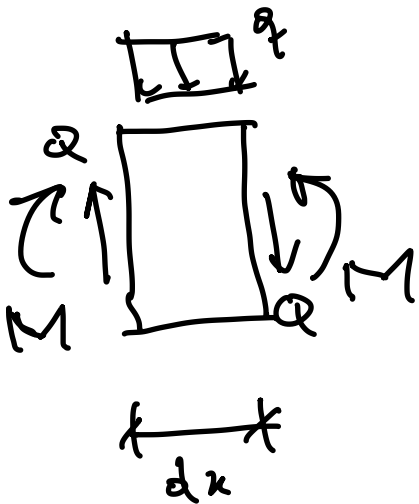
(c)



$$M_c(x) = \frac{q \cdot l}{2} \cdot x - \frac{q \cdot x^2}{2} \rightarrow M_c(x) = \frac{q \cdot l}{2} \cdot x - \frac{q \cdot x^2}{2}$$

$$M(x) = -M_i' \frac{l-x}{l} + M_d \frac{x}{l} + \frac{q \cdot l}{2} \cdot x - \frac{q \cdot x^2}{2}$$

Cálculo das forças onde ocorre  $M_{\max}$  e do seu valor



$M \rightarrow$  moment fletor  
 $Q \rightarrow$  esforço cortante

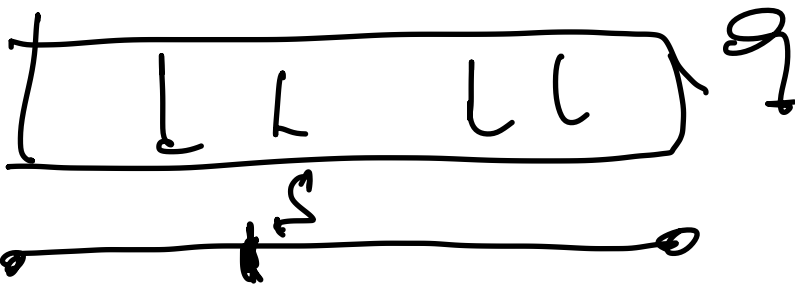
Equilíbrio do elemento infinitesimal

$$\frac{dQ}{dx} = -q$$

$$\frac{dM}{dx} = Q$$

$$\frac{d^2M}{dx^2} = -q$$

$$M_{\max} \rightarrow \frac{dM}{dx} = 0 \rightarrow Q = 0$$



$$Q(x) = V_i - q \cdot x$$

$$Q(x) = 0 \rightarrow V_i - q_f \cdot x_m = 0$$

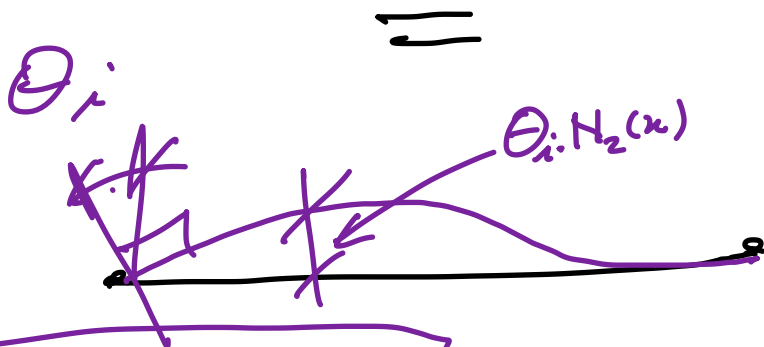
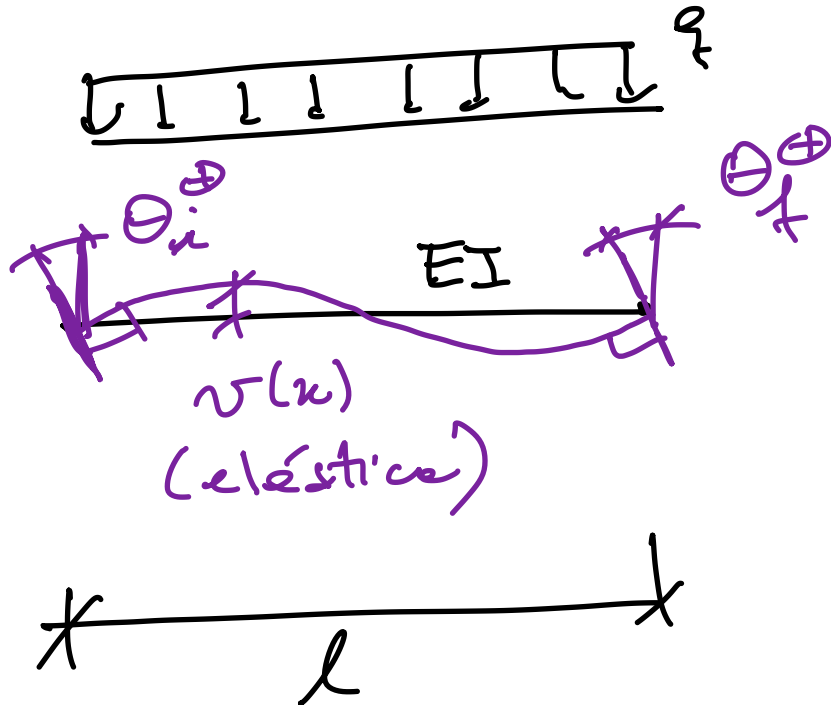
$$x_m = \frac{V_i}{q_f}$$

$$V_i = \frac{M_i}{l} + \frac{M_f}{l} + \frac{q_f l}{2}$$

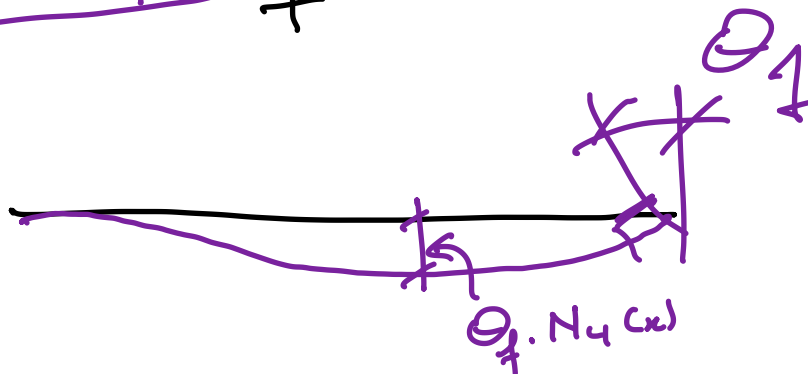
$$M_{max} = M(x_m)$$

# Deduções de equações da elasticidade (configurações deformadas)

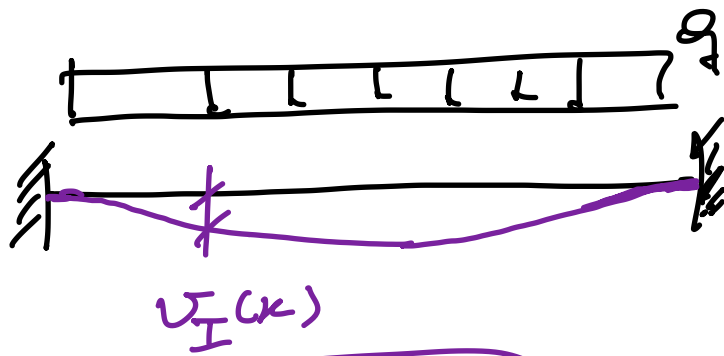
Caso sem articulações



$$v_{II}(x) = \Theta_i \cdot N_2(x) + \Theta_f \cdot N_4(x)$$



+



$$v(x) = v_I(x) + v_{II}(x)$$

Equações diferenciais de compatibilidade

$$\frac{dV}{dx} = \Theta(x)$$

$$\frac{d^2V}{dx^2} = \frac{M(x)}{EI}$$

$EI = \text{const.} \Rightarrow$

$$\frac{d^2M}{dx^2} = q$$

$$\frac{d^4V}{dx^4} = \frac{q}{EI}$$

$q = \text{const.} \Rightarrow$

$v(x) = ax^4 + bx^3 + cx^2 + dx + e$   
 $v_I(x)$  é um polinômio do 4º grau

$q = 0 \rightarrow v_{II}(x)$  é um polinômio do 3º grau

$v_I(x)$  e  $v_{II}(x)$  são deduzidas utilizando condições de contorno em  $v(0), \Theta(0) = \frac{dv}{dx}(0), v(l), \Theta(l) = \frac{dv}{dx}(l)$